

原子気体ボース・アインシュタイン凝縮体を用いた量子乱流研究の実現

大阪市立大学理学部

小林未知数

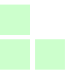
素励起物理学研究室
Elementary Excitation Physics Laboratory

(物性理論研究室)

研究集会「乱流現象及び多自由度系の動力学、構造と統計法則」 2007年11月23～25日



発表内容

1. 量子流体と量子乱流研究
 2. 原子気体ボース・アインシュタイン凝縮と量子渦研究
 3. Gross-Pitaevskii方程式を用いたシミュレーション
 4. 計算結果
 5. まとめ
- 
-

量子流体と量子乱流研究

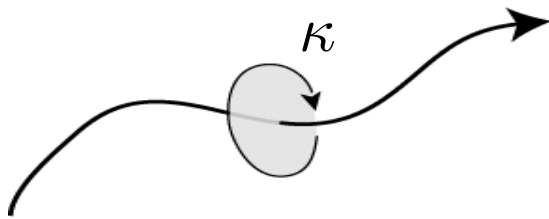
量子流体が実現される系

- 液体 ^4He , (^3He)
- 磁場やレーザーによって閉じこめられた原子気体
- (超伝導体や半導体励起子)

→ 極低温においてボース・アインシュタイン凝縮転移を引き起こし、超流動（粘性のない流れ）となる。

量子渦

量子流体中では循環が量子化される



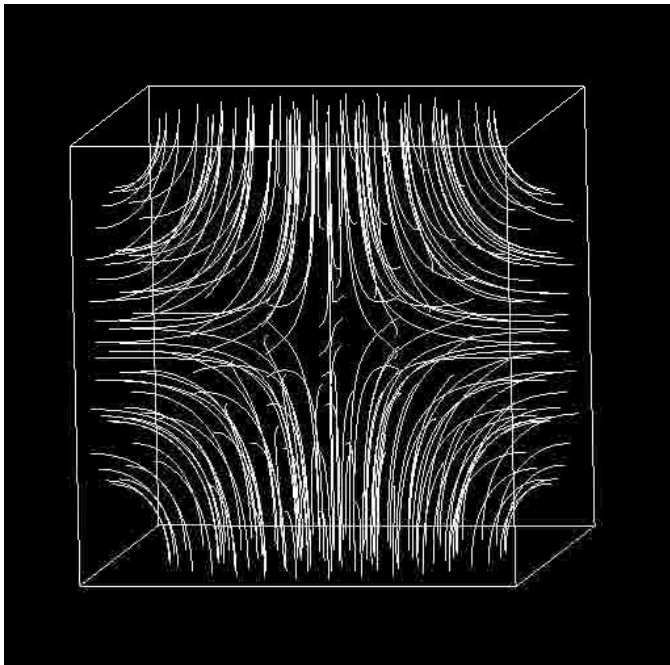
•すべての量子渦はいたるところで同じ循環 $\kappa = \oint \mathbf{v}_s \cdot d\mathbf{s} = n h / m$ を持つ ($n \geq 2$ の渦は不安定で $n = 1$ の渦へと分裂する)。

•渦芯のサイズは微視的 ($\sim \text{\AA}$: 液体 ^4He 、 $\sim 100\text{nm}$: 原子気体ボース凝縮体) : 渦糸近似が、量子渦では Realistic となる。

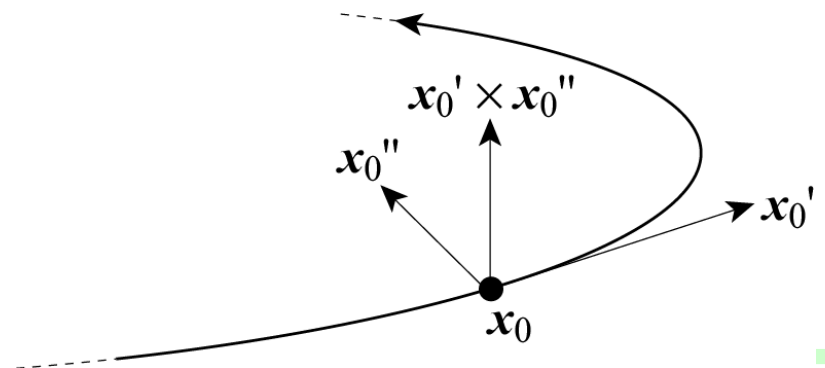
量子渦から量子乱流へ

量子渦のタングル状態として量子乱流が実現される

渦糸近似による量子乱流のシミュレーション



$$\frac{\partial \mathbf{x}_0(t)}{\partial t} = \mathbf{v}_s(\mathbf{x}_0)$$
$$\mathbf{v}_s(\mathbf{x}) = \mathbf{v}_{\text{ind}}(\mathbf{x}) + \mathbf{v}_{\text{sa}}(\mathbf{x})$$
$$\mathbf{v}_{\text{ind}}(\mathbf{x}) = \frac{\kappa}{4\pi} \int \frac{[\mathbf{x}_0(t) - \mathbf{x}] \times d\mathbf{x}_0(t)}{|\mathbf{x}_0(t) - \mathbf{x}|^3}$$

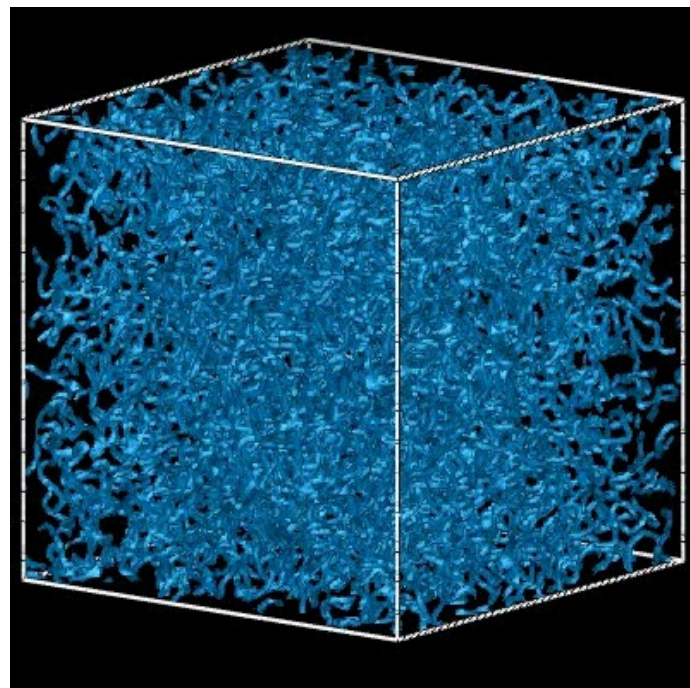
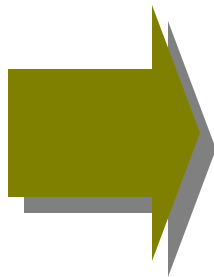
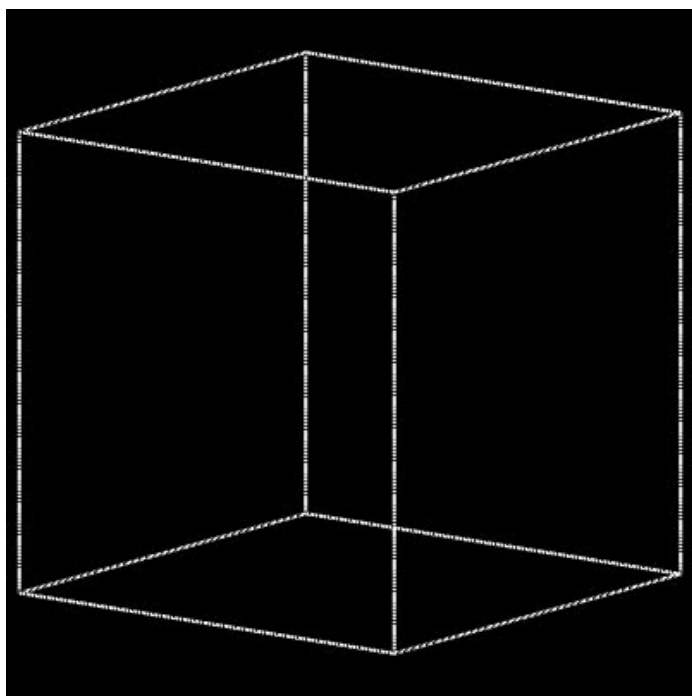


T. Araki, M. Tsubota and S. K. Nemirovskii,
Phys. Rev. Lett. **89**, 145301 (2002)

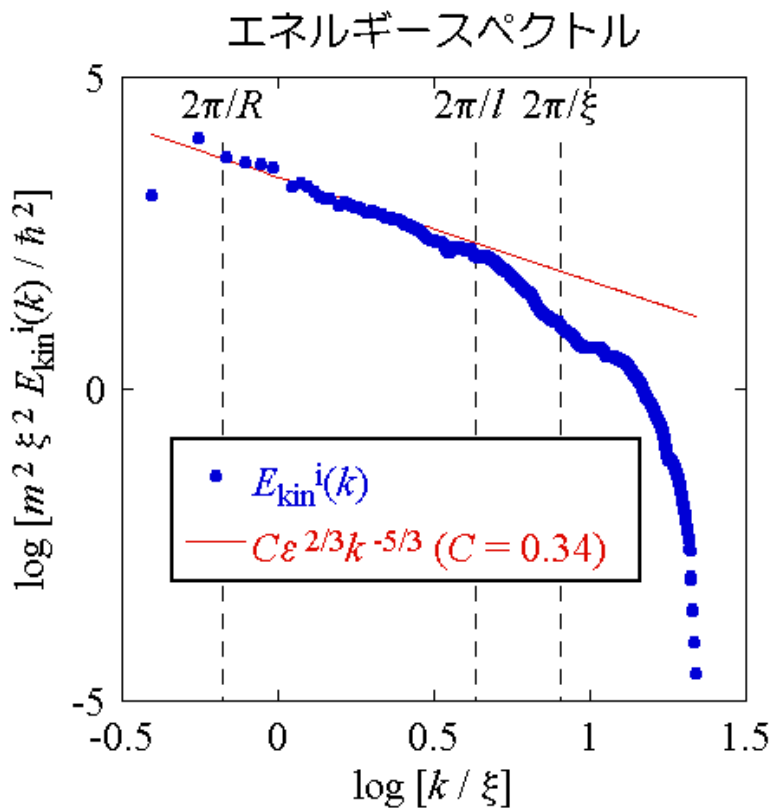
量子渦から量子乱流へ

量子渦のタングル状態として量子乱流が実現される

Gross-Pitaevskii方程式による量子乱流のシミュレーション



量子乱流のエネルギースペクトル



R : 注入渦輪のサイズ

$E(k) \propto k^{-5/3}$: Kolmogorov則
が確認された

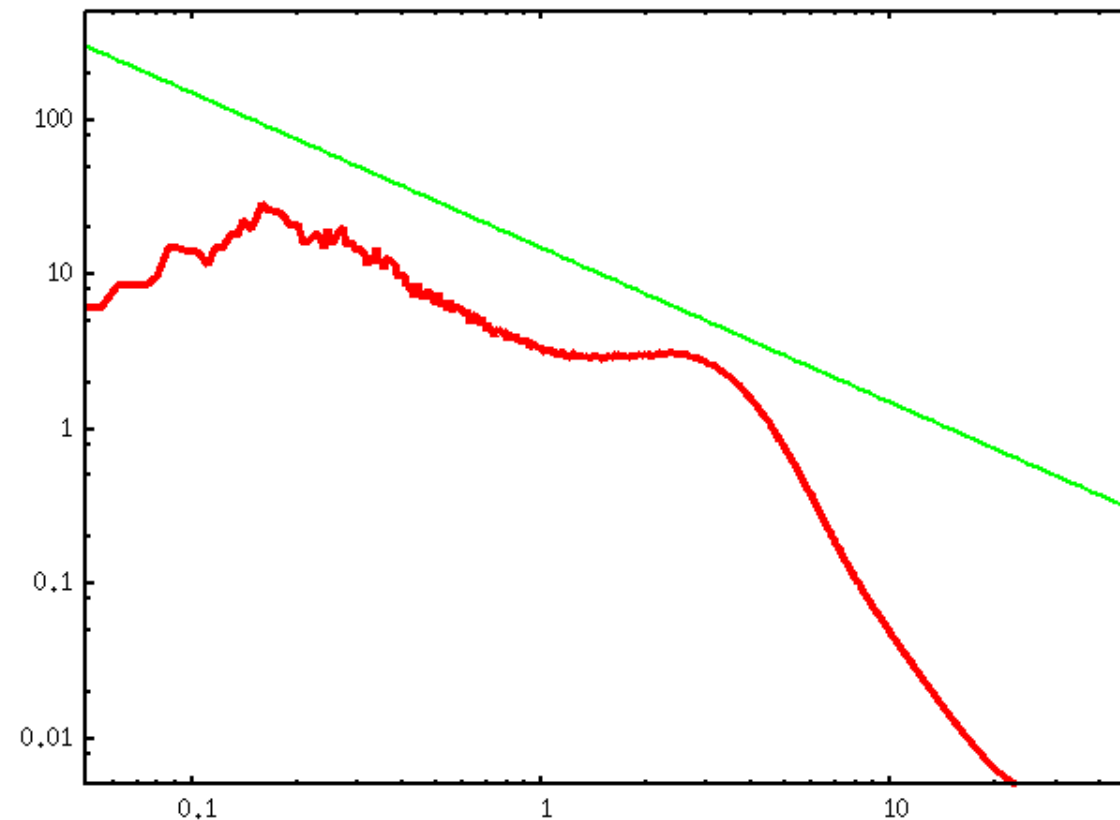
$l = (V/L)^{1/2}$: 平均渦間距離

$E(k) \propto k^{-6}$: Kolmogorov則とは別のスケーリングが見えた (Kelvin波乱流 : 量子乱流固有の現象?)

ξ : 回復長 (渦芯)

量子乱流のエネルギースペクトル

日本原子力研究開発機構における最大規模(10^{24})
のGP方程式数値シミュレーション結果

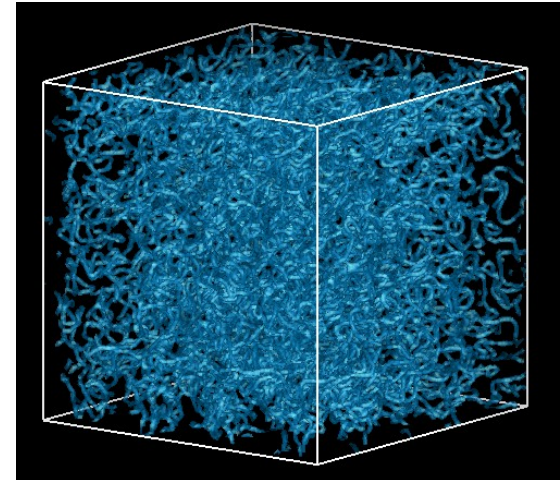
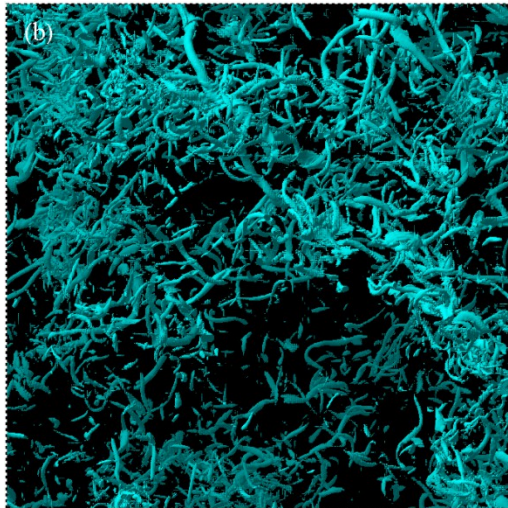


10.2838, 4.72566



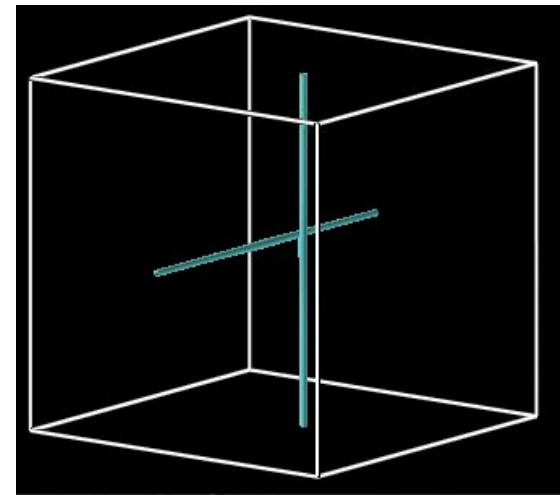
量子渦の視点から見た量子乱流研究

Y. Kaneda, *et al*, Phys. Fluids. **15**, L21 (2003)



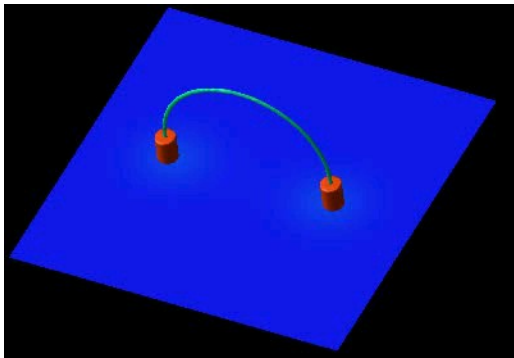
量子乱流：量子渦が厳密に定義

古典乱流：渦の評価が難しい



超流動Heを用いた量子乱流研究

今までの全ての量子乱流研究は液体Heを用いて行われてきた

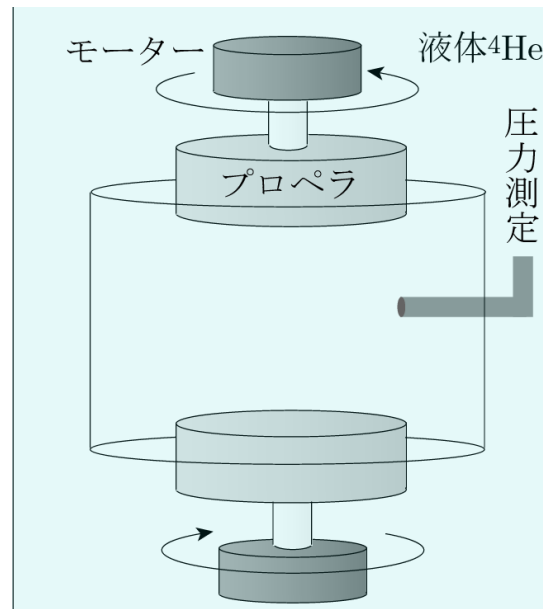


振動ワイヤー (大阪市大)

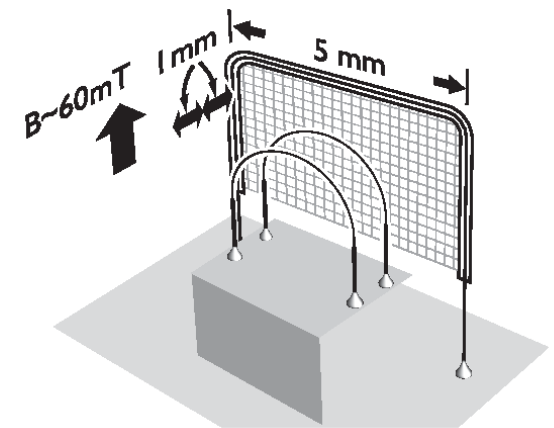
H. Yano *et al.* Phys. Rev. B **75**, 012502 (2007)

J. Maurer and P. Tabeling, Europhys. Lett. **43** (1), 29 (1998)

振動対向円板 (Paris)



振動グリッド (Lancaster)



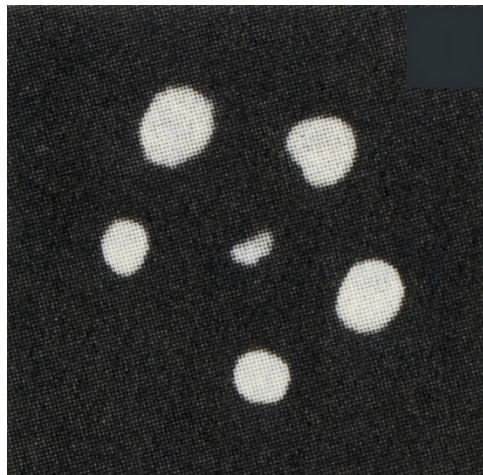
D. L. Bradley *et al.* Phys. Rev. Lett. **96**, 035301 (2-6)

超流動Heにおける量子渦の観測

- (第2) 音波
- 振動ワイヤー
- NMRサブピーク



全渦糸長しか測れない

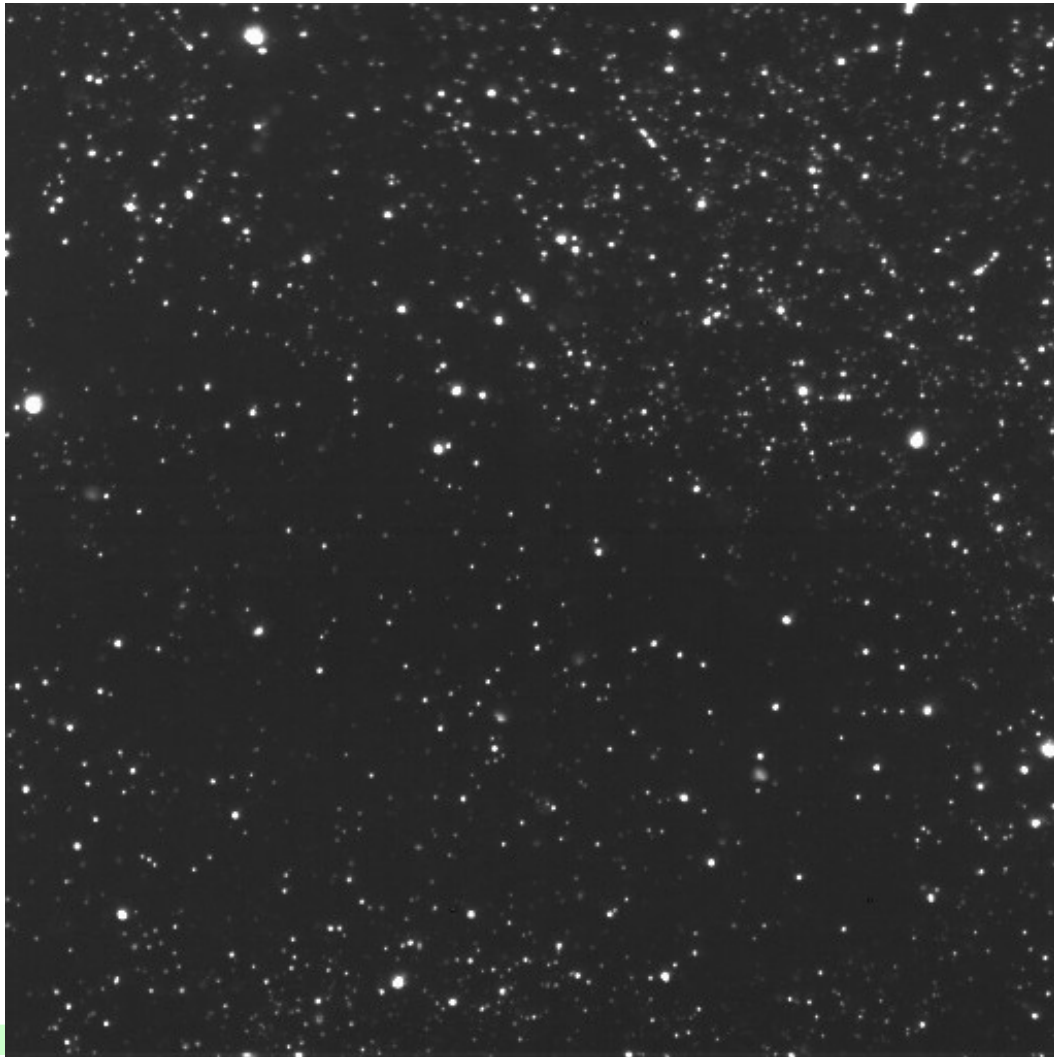


回転容器中における
量子渦格子の可視化

基本的に超流動Heにおいて
量子渦の空間分布を直接観測するのは非常に難しい

E. J. Yarmchuk and R. E. Packard,
J. Low Temp. Phys. **46**, 479 (1982).

超流動Heにおける量子渦の観測

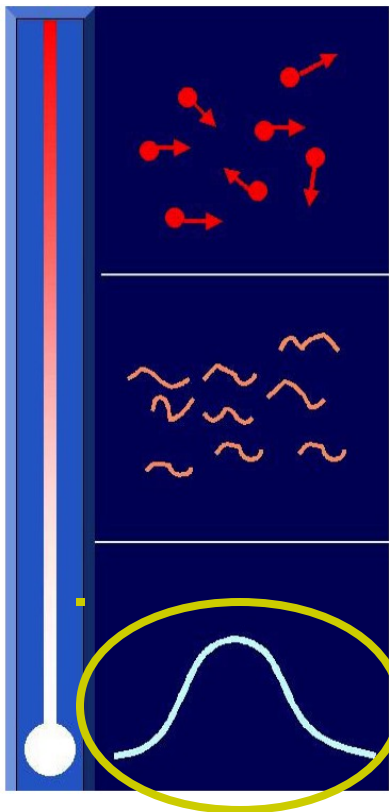


PIVを用いた乱流の素過程
(渦の再結合)の観測

G. P. Bweley, D. P. Lathrop, K. R.
Sreenivasan, Nature **441**, 588(2006).

原子気体ボース・アインシュタイン 凝縮と量子渦研究

ボース・アインシュタイン凝縮：低温において
粒子の波動性が顕著に表れる現象



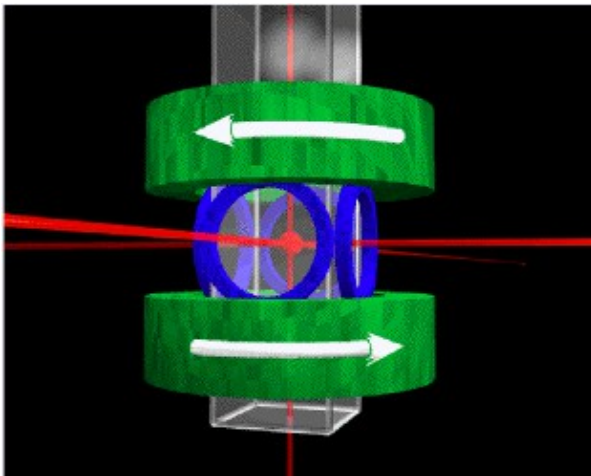
$$\text{粒子の熱的ドブロイ波長} : \lambda = \sqrt{\frac{2\pi\hbar}{mk_{\text{B}}T}}$$

$$\text{ボース凝縮転移} : n\lambda^3 \sim 1$$

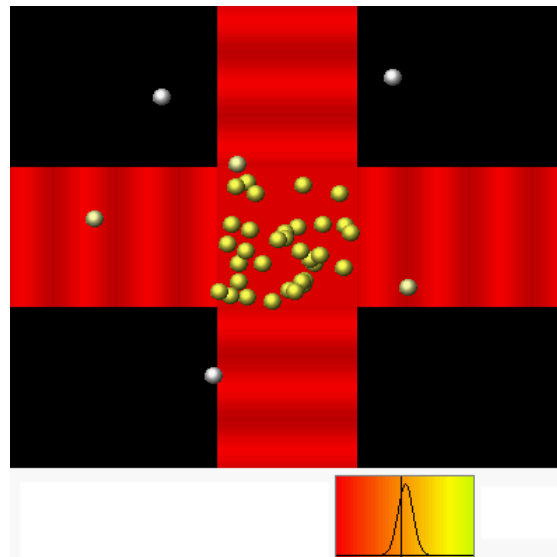
巨視的波動関数（秩序パラメータ）の形成

原子気体ボース・アインシュタイン 凝縮と量子渦研究

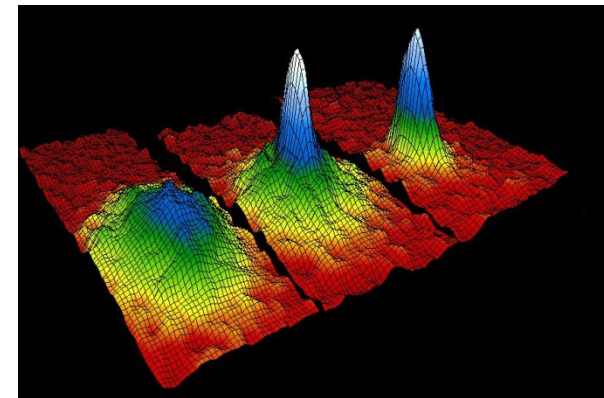
トラップされた原子気体



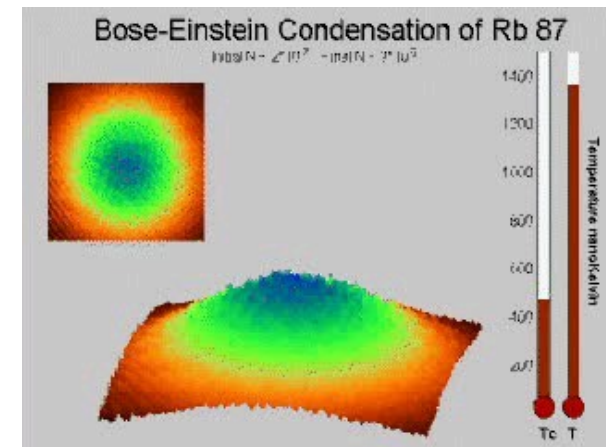
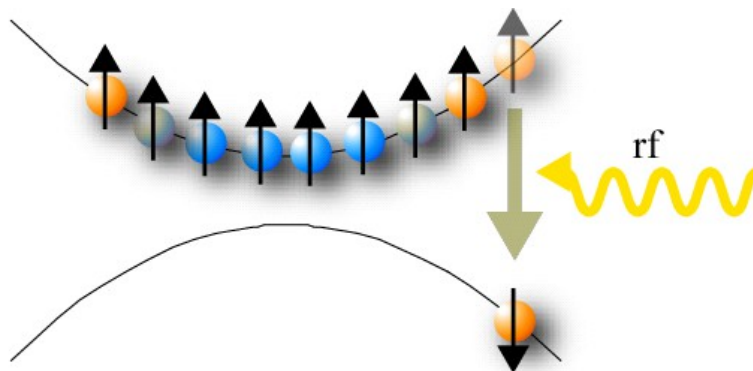
レーザー冷却



ボース凝縮

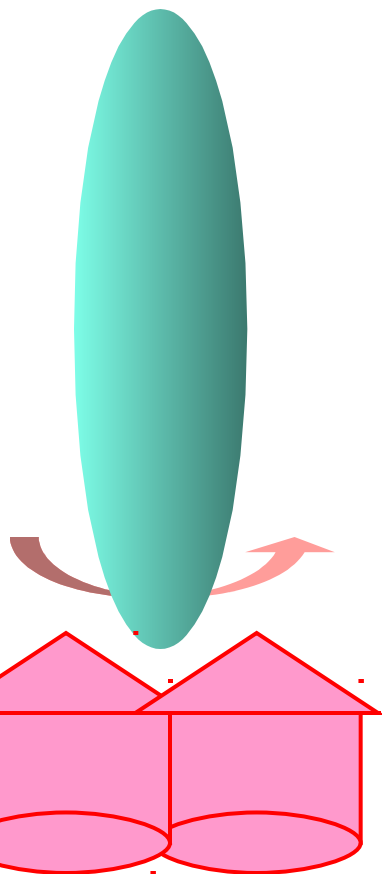


蒸発冷却



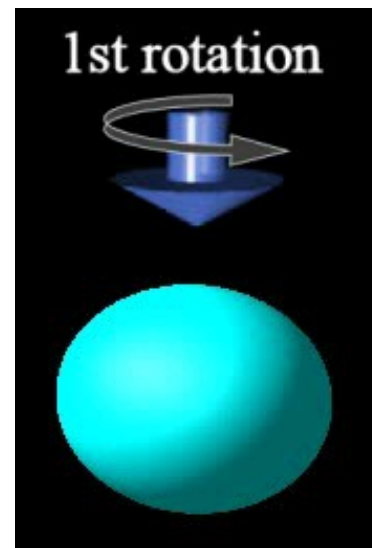
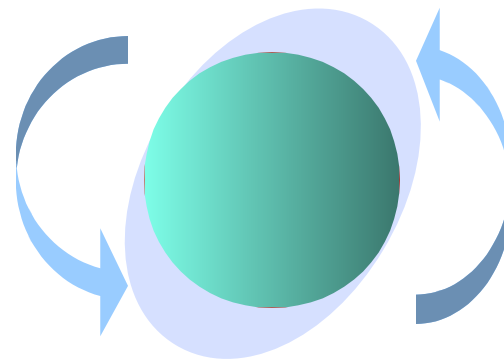
原子気体ボース凝縮における量子渦の観測

BECの回転



光学スプーン

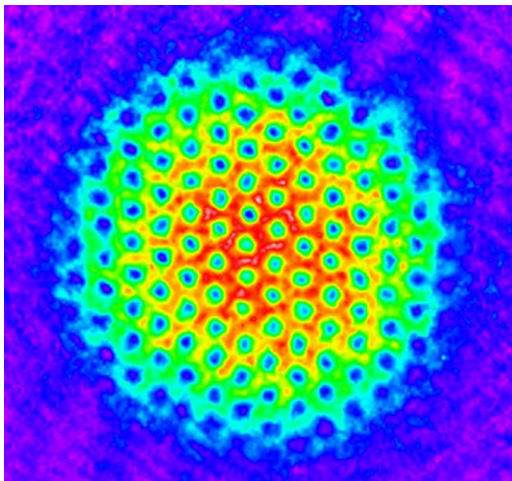
異方性ポテンシャルの回転



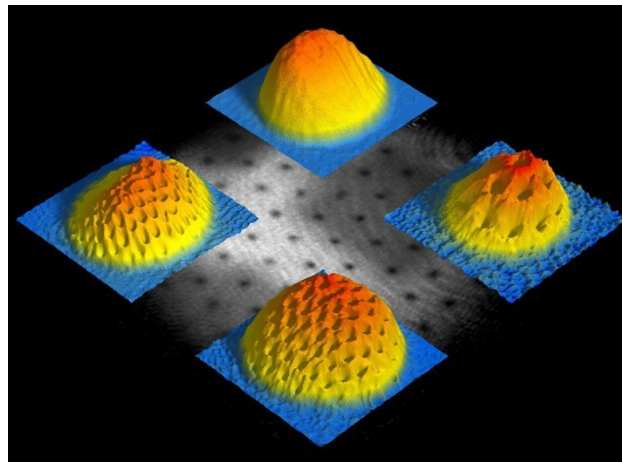
K.W.Madison et.al Phys.Rev Lett **84**, 806 (2000)

原子気体ボース凝縮における量子渦の観測

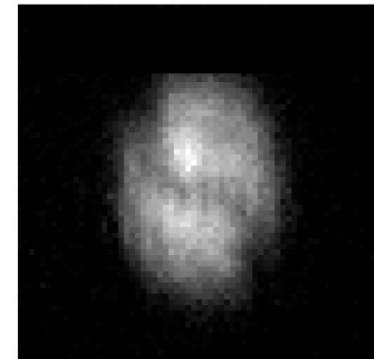
P. Engels, et.al
PRL **87**, 210403 (2001)



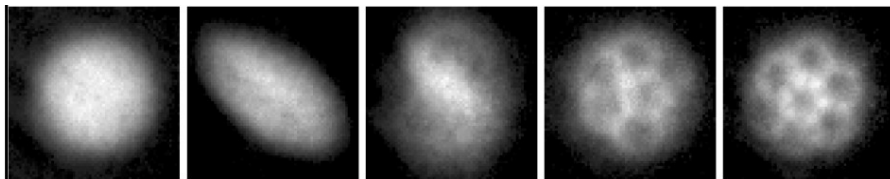
J.R. Abo-Shaeer, et.al
Science **292**, 476 (2001)



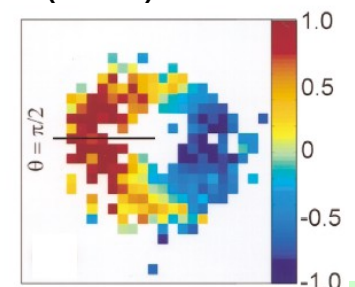
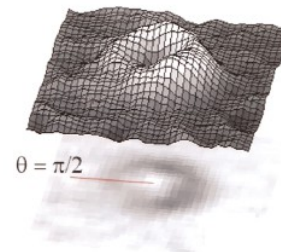
V. Bretin et al. PRL
90, 100403(2003)



K. W. Madison et al. PRL
86, 4443(2001)

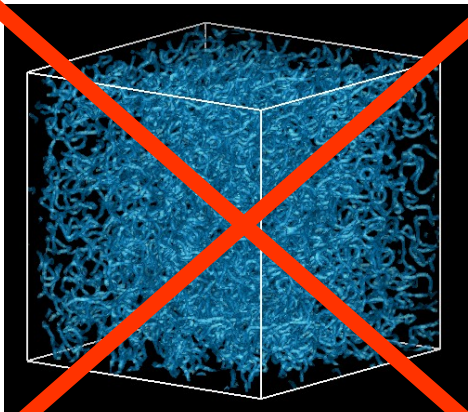


M. R. Matthews et al.
PRL **83**, 2498(1999)



原子気体ボース凝縮における量子乱流研究

今まで原子気体ボース凝縮を用いた量子乱流研究は皆無だった



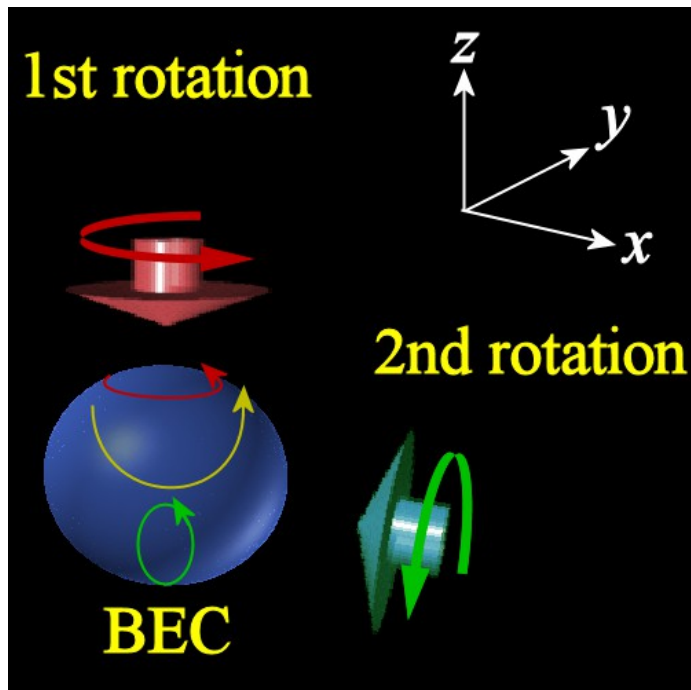
原子気体ボース凝縮の強み

- 粒子数、温度、粒子密度から、さらには粒子間相互作用までほとんど全ての物理量が可変であり、制御可能である
- 量子渦が「密度の穴」として直接「見える」

原子気体ボース凝縮は、量子乱流研究にふさわしい（制御された量子乱流を手に入れられる？）！

量子乱流の実現に向けて

原子気体ボース凝縮では流れ場を印加することが困難→歳差回転を用いれば乱流ができるか？



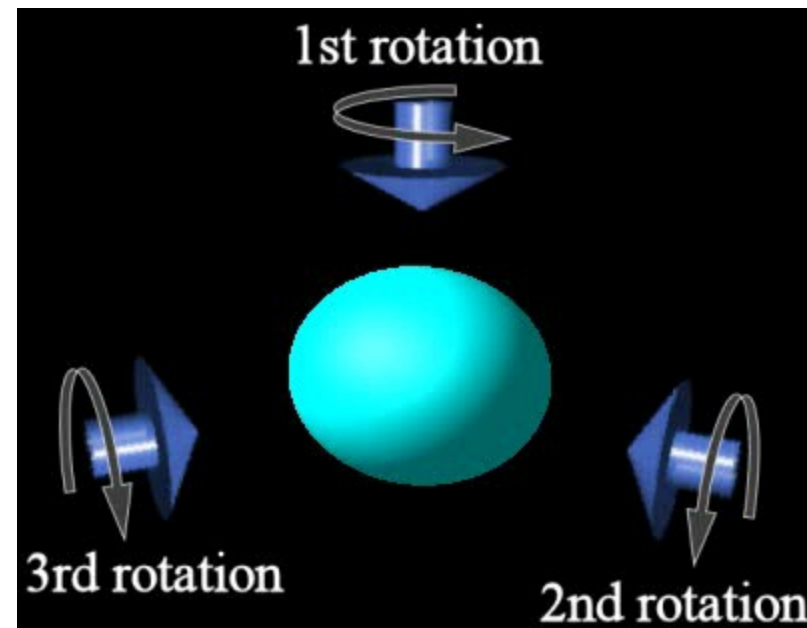
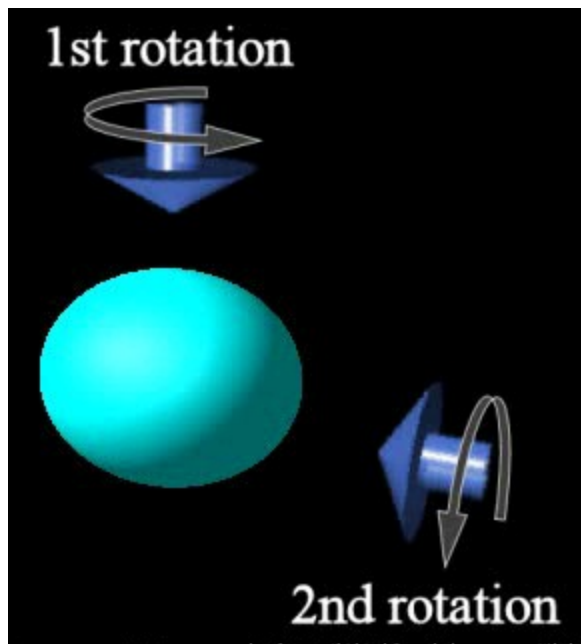
- 片方の回転がないとき、もう片方の単一な回転となる。
- 2番目の回転が弱いとき、回転する渦格子状態が実現する。
- 2番目の回転が強いとき、回転する渦格子は不安定となり、乱流状態となる。



S. Goto, N. Ishii, S. Kida, and M. Nishioka Phys. Fluids **19**, 061705 (2007)

原子気体ボース凝縮への歳差回転印 加

原子気体ボース凝縮の場合、実験系を回転させる必要がない



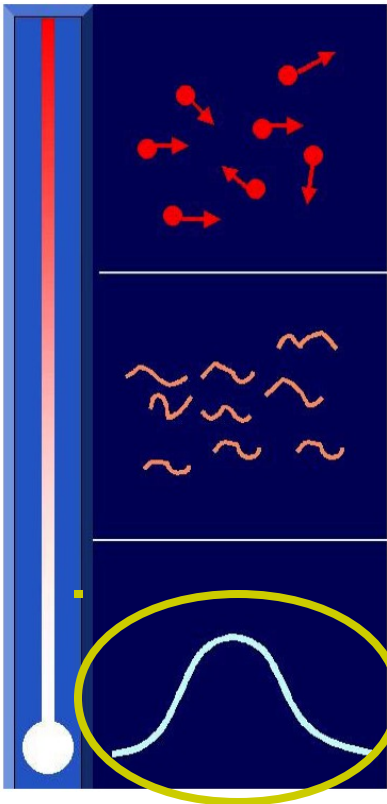
歳差回転を与える異方的トラップ
(光学スプーン) の運動

3軸回転すら可能 (乱流は
より等方的に！)

Gross-Pitaevskii方程式を用いたシミュレーション

Gross-Pitaevskii方程式（非線形Schrödinger方程）

$$\hbar[i - \gamma(x)] \frac{\partial}{\partial t} \Phi(x) = \left[-\frac{\hbar^2}{2m} \nabla^2 - \mu + U(\mathbf{x}) + \frac{4\pi\hbar^2 a}{m} |\Phi(x)|^2 - \boldsymbol{\Omega}(t) \cdot \mathbf{L}(x) \right] \Phi(x)$$



$U(\mathbf{x})$: 磁気トラップポテンシャル

a : 粒子の s 波散乱長

$\boldsymbol{\Omega}(t)$: 回転角速度

$L(\mathbf{x})$: 角運動量演算子

$\gamma(x)$: 素励起との相互作用による散逸項

巨視的波動関数の運動を記述する方程式

Gross-Pitaevskii方程式を用いたシミュレーション

Gross-Piteavskii方程式（非線形Schrödinger方程）

$$\hbar[i - \gamma(x)] \frac{\partial}{\partial t} \Phi(x) = \left[-\frac{\hbar^2}{2m} \nabla^2 - \mu + U(x) + \frac{4\pi\hbar^2 a}{m} |\Phi(x)|^2 - \Omega(t) \cdot L(x) \right] \Phi(x)$$

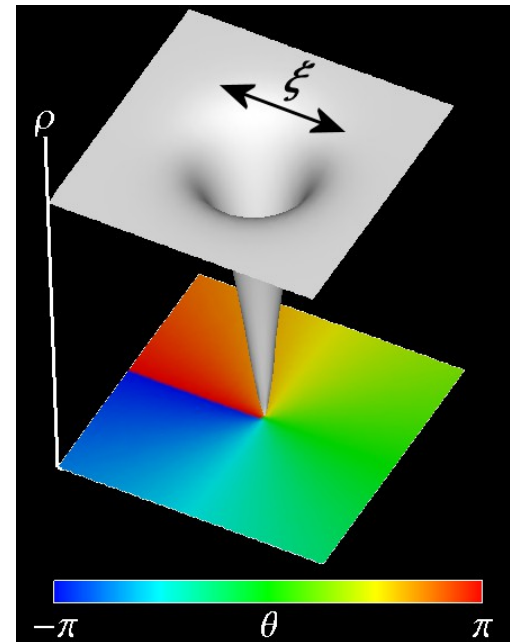
$$\Phi(x) = |\Phi(x)| \exp[i\theta(x)]$$

$$\rho(x) = |\Phi(x)|^2 : \text{流体の密度}$$

$$v(x) = (\hbar/m) \nabla \theta(x)$$

: 流体の速度場

$$\xi = 1/\sqrt{8\pi a \bar{\rho}} : \text{回復長}$$

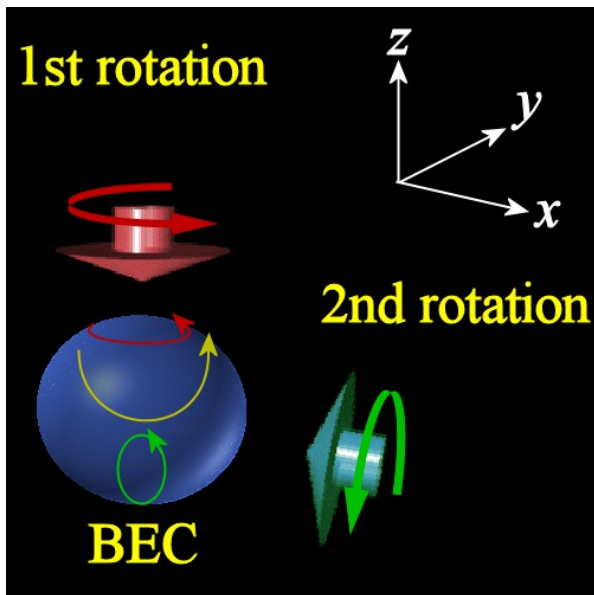


量子渦

Gross-Pitaevskii方程式を用いたシミュレーション

Gross-Pitaevskii方程式（非線形Schrödinger方程）

$$\hbar[i - \gamma(x)] \frac{\partial}{\partial t} \Phi(x) = \left[-\frac{\hbar^2}{2m} \nabla^2 - \mu + U(x) + \frac{4\pi\hbar^2 a}{m} |\Phi(x)|^2 - \Omega(t) \cdot L(x) \right] \Phi(x)$$



歳差回転

$$\Omega(t) = (\Omega_x, \Omega_z \sin \Omega_x t, \Omega_z \cos \Omega_x t)$$

Gross-Pitaevskii方程式を用いたシミュレーション

Gross-Pitaevskii方程式（非線形Schrödinger方程）

$$\hbar[i - \gamma(x)] \frac{\partial}{\partial t} \Phi(x) = \left[-\frac{\hbar^2}{2m} \nabla^2 - \mu + U(x) + \frac{4\pi\hbar^2 a}{m} |\Phi(x)|^2 - \boldsymbol{\Omega}(t) \cdot \mathbf{L}(x) \right] \Phi(x)$$

異方的な磁気トラップポテンシャル

$$U(\mathbf{x}) = \frac{m\omega^2}{2} [(1 - \epsilon_1)(1 - \epsilon_2)x^2 + (1 + \epsilon_1)(1 - \epsilon_2)y^2 + (1 + \epsilon_2)z^2]$$

Gross-Pitaevskii方程式を用いたシミュレーション

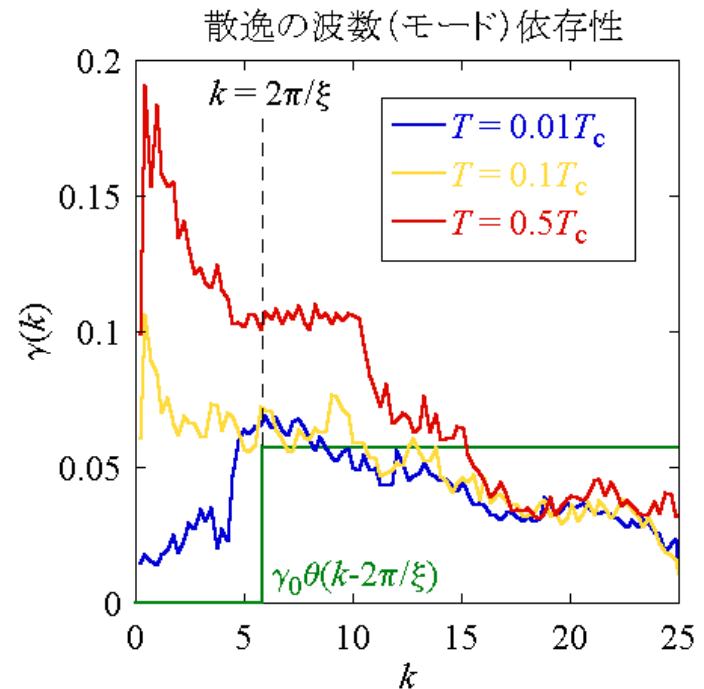
Gross-Piteavskii方程式（非線形Schrödinger方程）

$$\hbar[i - \gamma(x)] \frac{\partial}{\partial t} \Phi(x) = \left[-\frac{\hbar^2}{2m} \nabla^2 - \mu + U(x) + \frac{4\pi\hbar^2 a}{m} |\Phi(x)|^2 - \Omega(t) \cdot \mathbf{L}(x) \right] \Phi(x)$$

素励起との相互作用による
減衰項

$$\gamma(k) = \gamma_0 \theta(k - 2\pi/\xi_0)$$

: 渦芯よりも短いスケールのみで有効

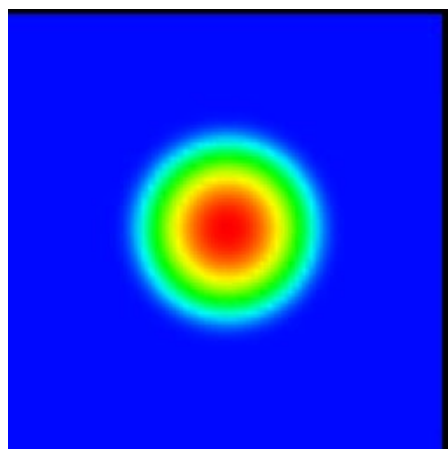
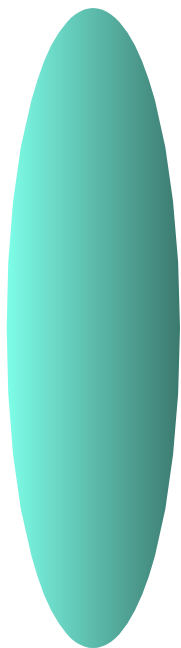


数値シミュレーション：渦格子形成

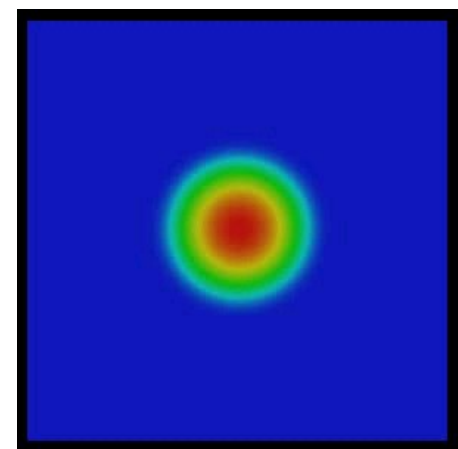
^{87}Rb atoms : $m = 1.46 \times 10^{-25}$ kg, $a = 5.61$ nm

$N = 2.50 \times 10^5$, $\epsilon_1 = 0.05$

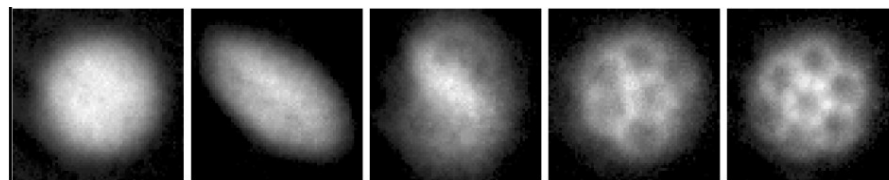
$\omega_x = \omega_y = 120 \times 2\pi$ Hz, $\omega_z = 20 \times 2\pi$ Hz



$\Omega = 0.75 \omega_x$



$\Omega = 0.9 \omega_x$



細長いBECに対して2次元解析を行う

数値シミュレーション：量子乱流

$$\begin{aligned} {}^{87}\text{Rb atoms} : \quad & m = 1.46 \times 10^{-25} \text{ kg}, a = 5.61 \text{ nm} \\ & N = 2.50 \times 10^5, \omega = 150 \times 2\pi \text{ Hz} \\ & \Omega_z = \Omega_x = 0.6\omega, \epsilon_1 = \epsilon_2 = 0.025 \end{aligned}$$

数値計算法： 空間：チェビシェフスペクトル法

格子点数： 512^3 ，計算空間： $V = 14.0^3 \mu\text{m}$

境界条件：ディリクレ境界条件

タウ法で処理

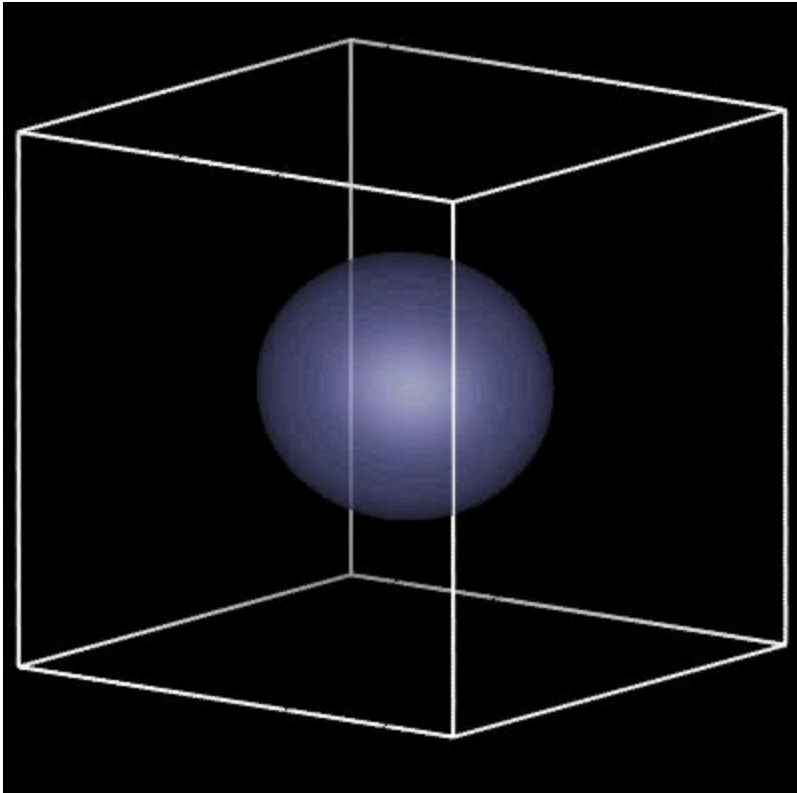
時間：4次精度のルンゲークッタ法 $\Delta t = 10^{-4}\omega$

初期条件：回転、異方性がない時の厳密解

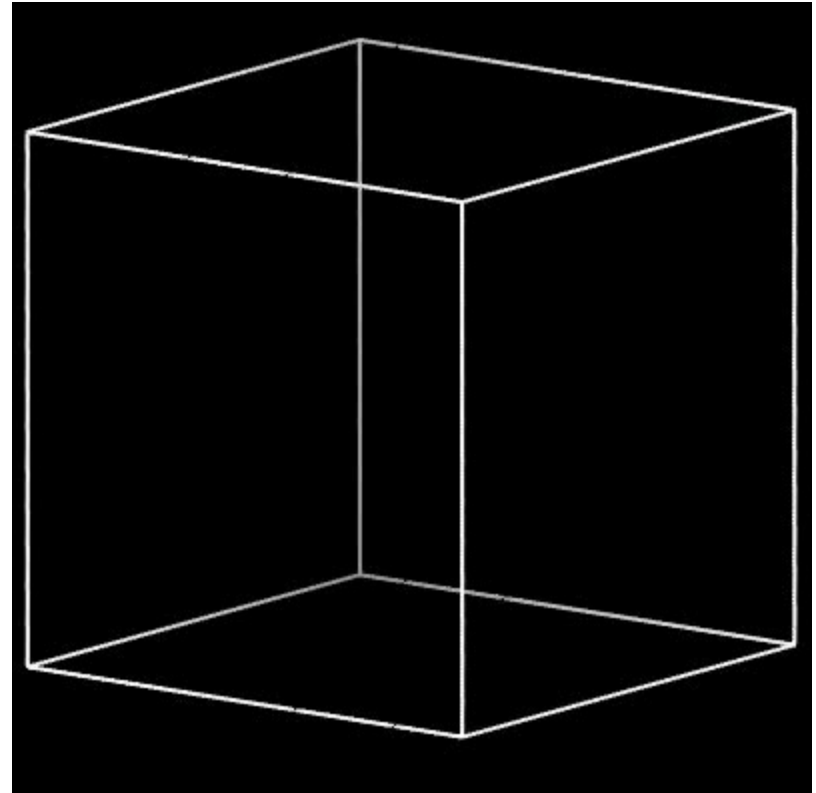
エネルギースペクトルの計算：3次双スプライン補間

計算結果

密度



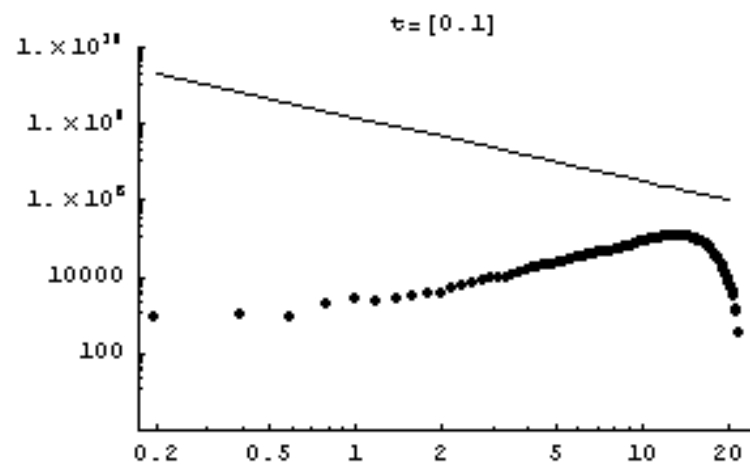
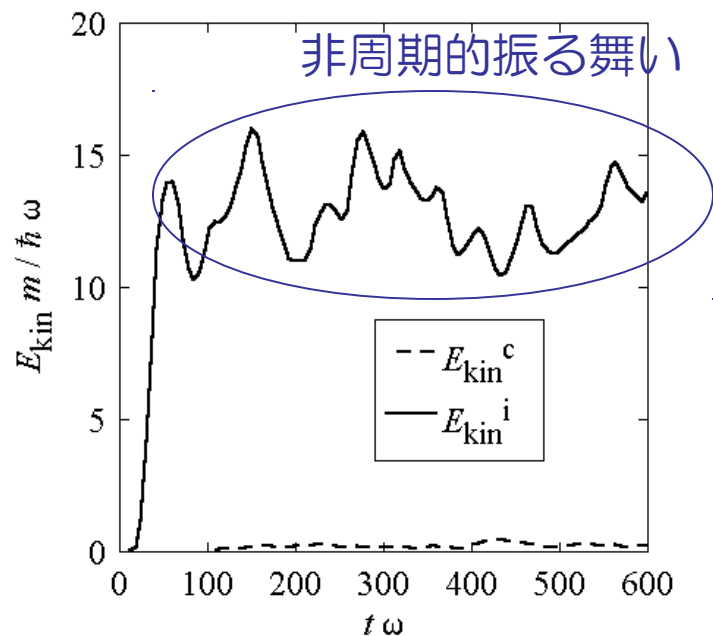
BEC中の渦



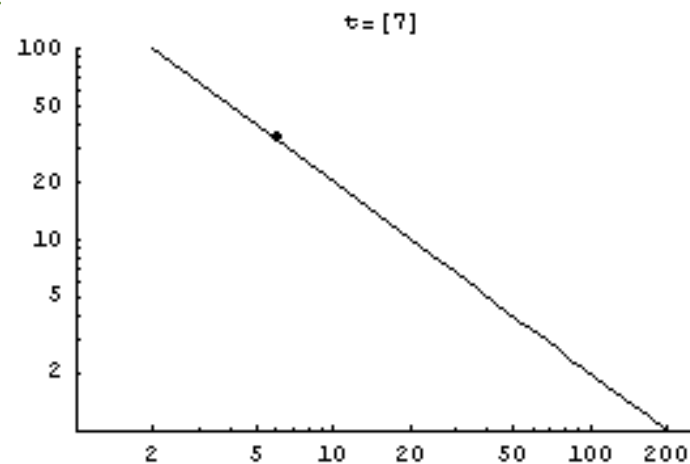
量子渦が格子を組まずに乱流状態となる

計算結果

エネルギースペクトル



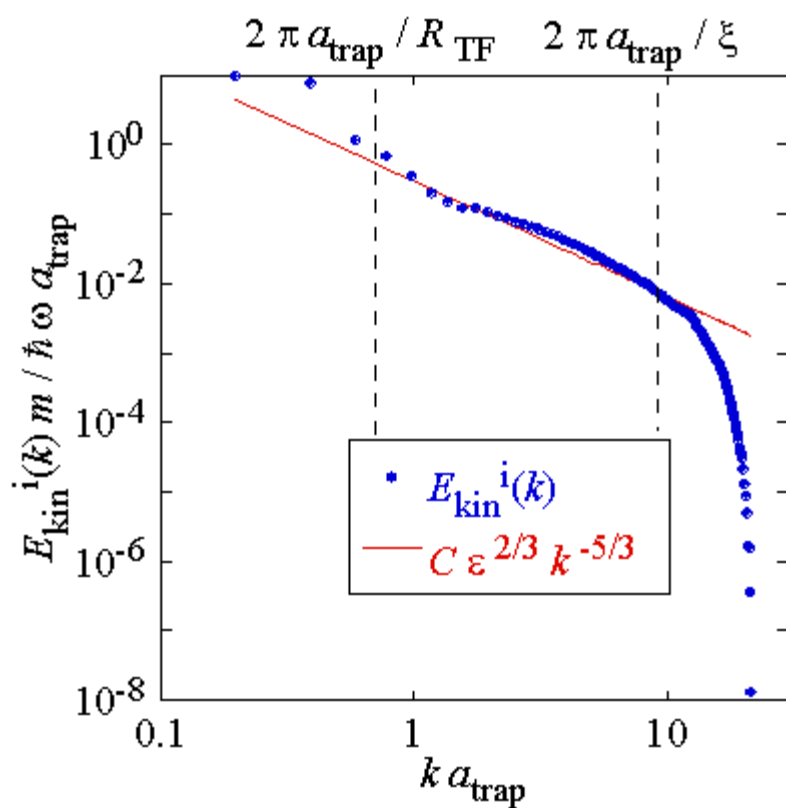
渦の長さ分布



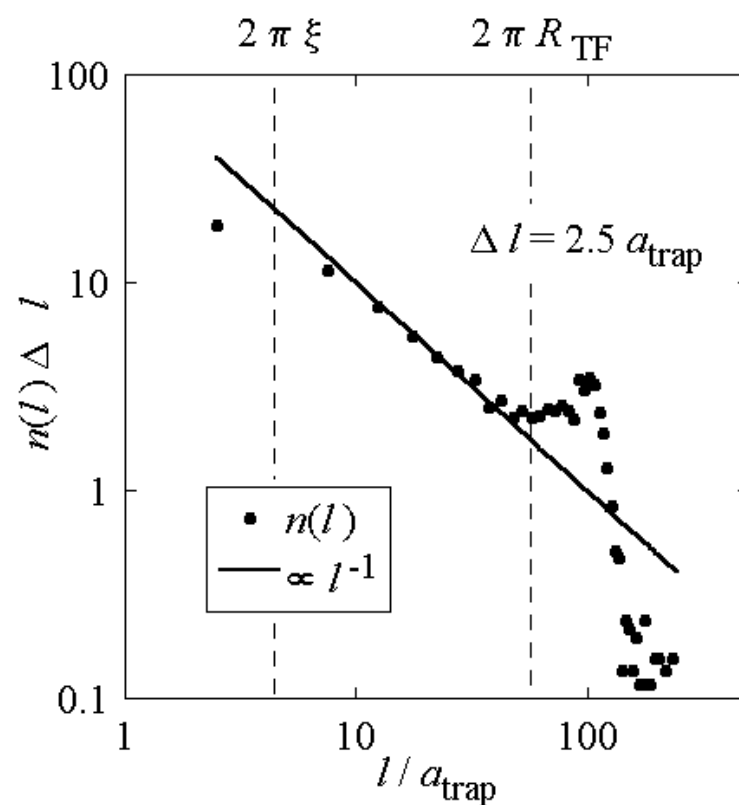
計算結果

20アンサンブル平均

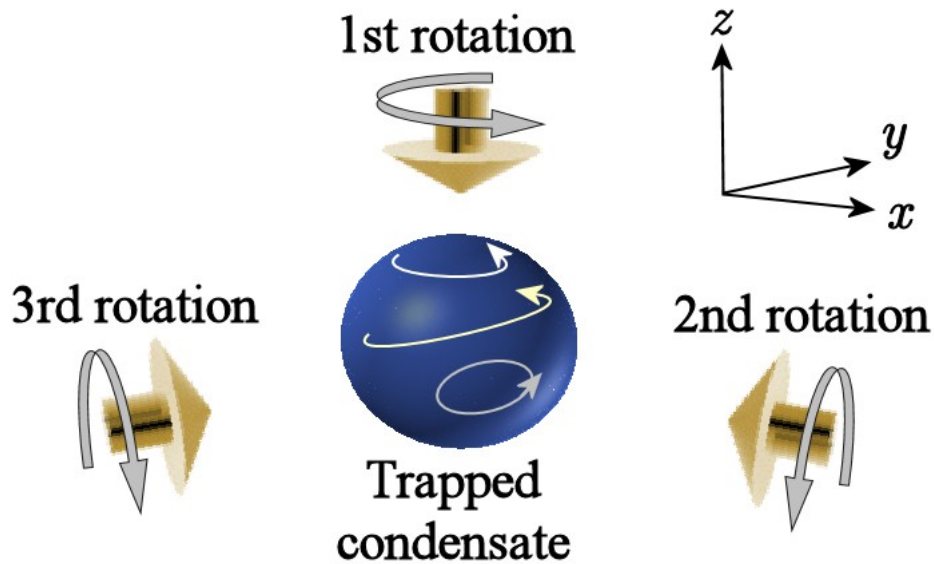
エネルギースペクトル



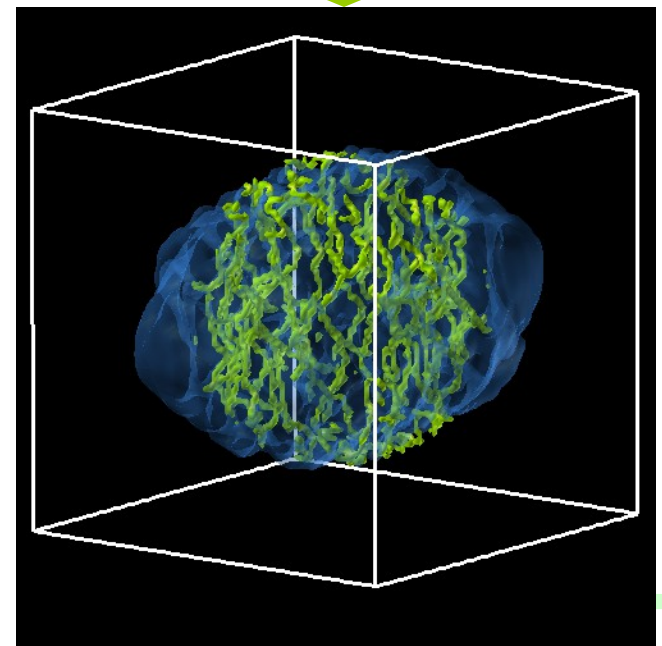
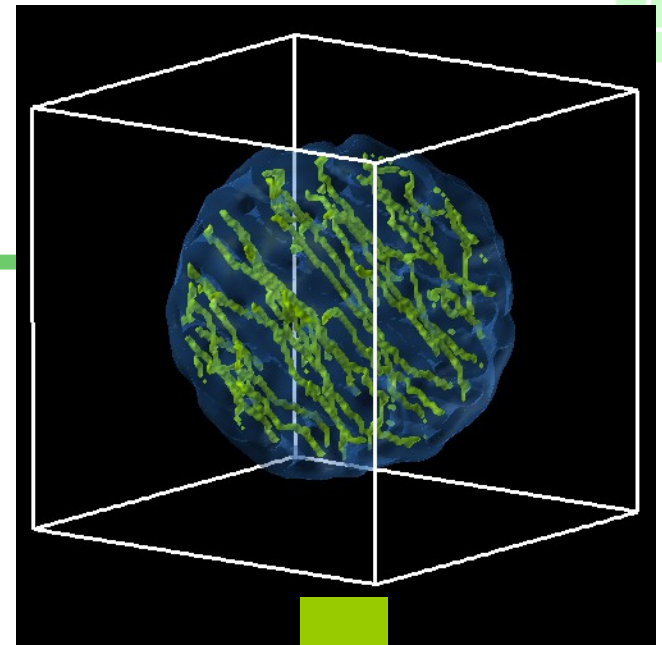
渦の長さ分布



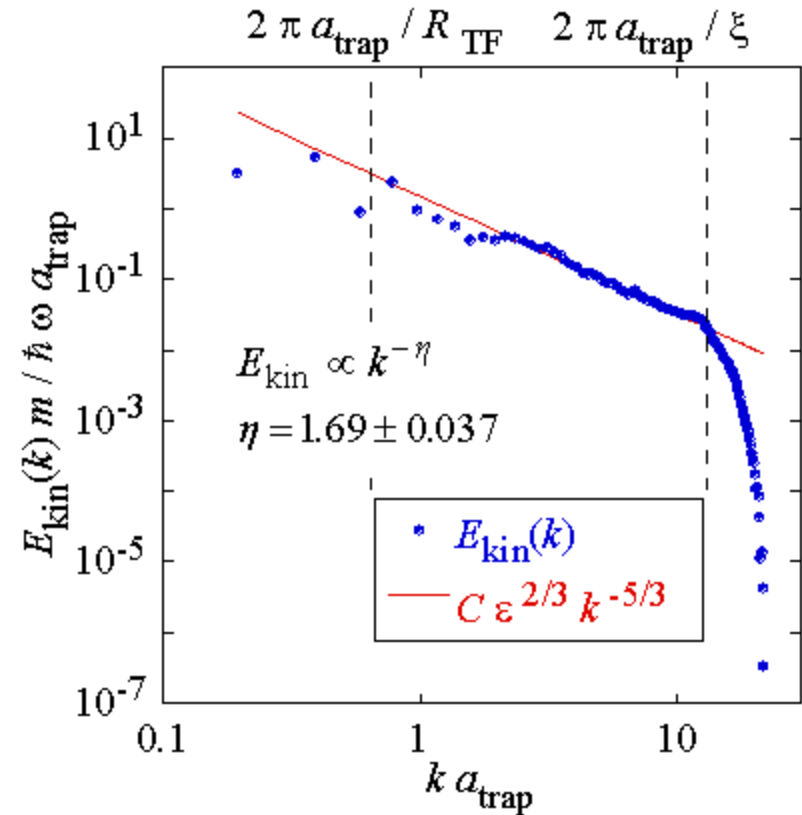
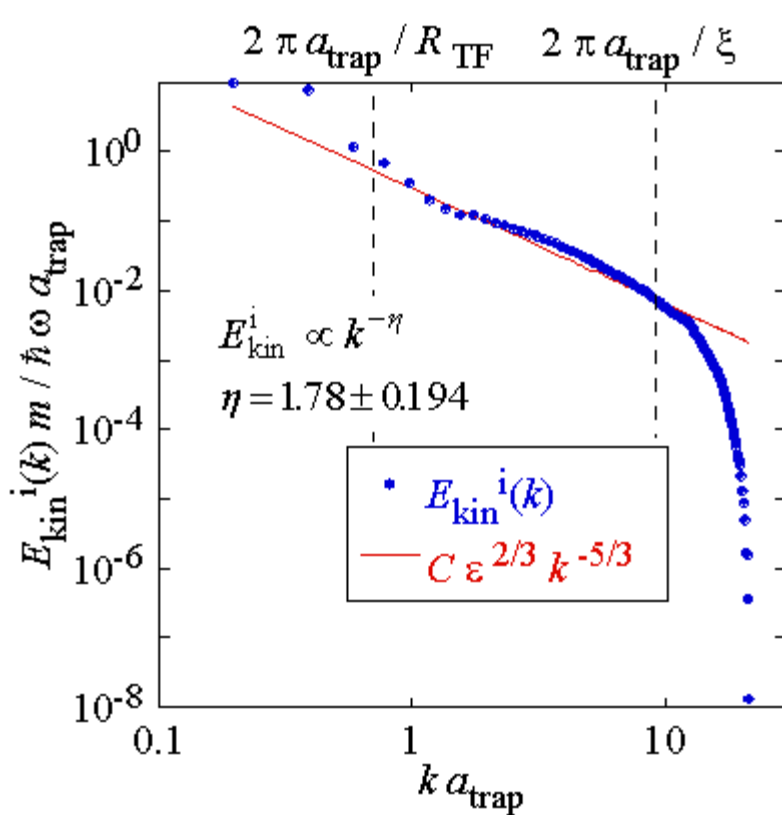
3軸回転



量子渦のタングル状態が
より等方的となっている



3軸回転



Kolmogorov則との一致は良くなっている

まとめ

- 原子気体ボース凝縮体は、量子乱流を研究するための良い系となりうる。
- 原子気体ボース凝縮体において量子乱流を実現するために、歳差回転を用いることができる。
- 原子気体ボース凝縮体において実現された量子乱流は、やはり通常乱流との類似性を示している。